

## 6 Ледовые условия на дальневосточных морях

Суровость зимних условий в регионе можно проследить по поведению такой инерционной характеристики, как ледовитость моря (рис. 6-1–6-3). Графики ледовитости построены на основе средней декадной ледовитости в % относительно общей площади моря для Охотского и Берингова морей и относительно площади предельного распространения льда для Японского моря [Якунин, 1987, Плотников, 2002]. При характеристике ледовых условий используется классификация: умеренная ледовитость (отклонения в пределах  $\pm 1\sigma$  от нормы), большая (превышение нормы более чем  $1\sigma$ ) и малая (ниже нормы более чем  $1\sigma$ ), где  $\sigma$  – среднее квадратическое отклонение. За норму принята средняя многолетняя площадь моря, занятая льдом, за период 1971–2000 гг.

### Японское море

В первой и второй декадах апреля продолжалось устойчивое разрушение ледяного покрова, площадь льда сокращалась на 5% и 2% за декаду соответственно. В третьей декаде ледовитость моря не изменялась. В первых двух декадах стандартизованные аномалии составляли  $-0,6\sigma$  и  $0,2\sigma$  соответственно, – ледовые условия были умеренные (близки к норме). В третьей декаде аномалия ледовитости возросла до  $3,8\sigma$ , что указывает на суровость условий, при этом площадь льда занимала 7% относительно площади предельного распространения льда (рис. 6-1).



Рис. 6-1 Ледовитость Японского моря по декадам с декабря 2022 г. по апрель 2023 г.  
Климатические значения ледовитости рассчитаны за период 1971–2000 гг.

### Охотское море

В течение месяца продолжалось устойчивое разрушение ледяного покрова, площадь льда сокращалась на 8–11% за декаду. В третьей декаде площадь льда составляла всего 26% от общей площади моря, что меньше нормы на 19%. В течение месяца ледовые условия оставались мягкими – стандартизованные аномалии в пределах  $-1,5\sigma$ ..... $-2,3\sigma$  (рис. 6-2).

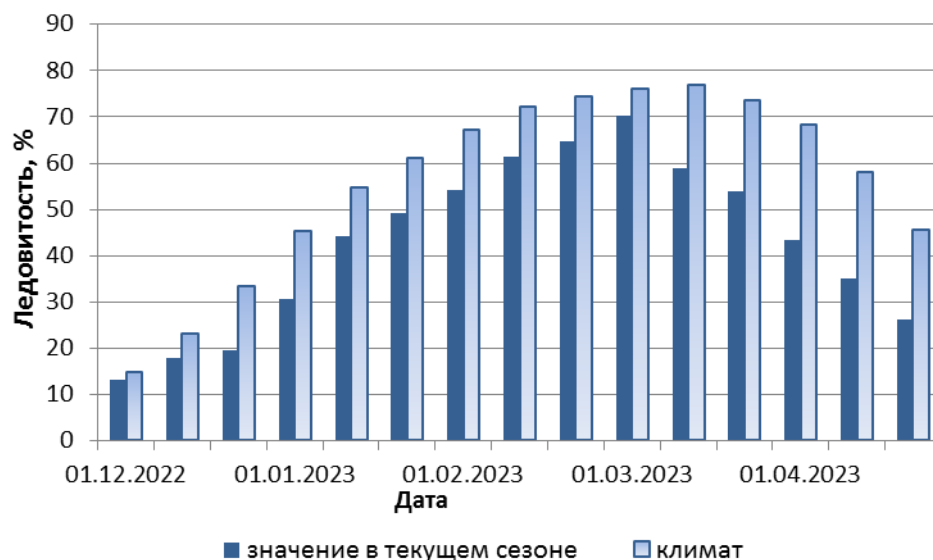


Рис. 6-2 Ледовитость Охотского моря по декадам с декабря 2022 г. по апрель 2023 г.  
 Климатические значения ледовитости рассчитаны за период 1971–2000 гг.

### Берингово море

В первой декаде наблюдалось незначительное разрушение ледяного покрова, в дальнейшем он восстановился до 33%, в третьей декаде составлял 30%. Ледовые условия в течение месяца оставались близкими к средним многолетним – стандартизированные аномалии находились в пределах  $-0,7\sigma \dots 0,0\sigma$  (рис. 6-3).



Рис. 6-3 Ледовитость Берингова моря по декадам с декабря 2022 г. по апрель 2023 г.  
 Климатические значения ледовитости рассчитаны за период 1971–2000 гг.